

“SiO₂ et B₂O₃ : Deux verres peculiers?

5 Nov, 2009
Verre_2009

Akira Takada

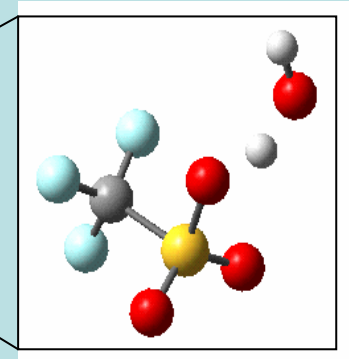
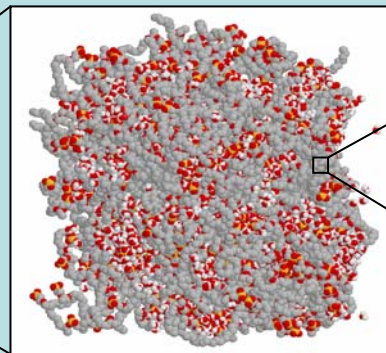
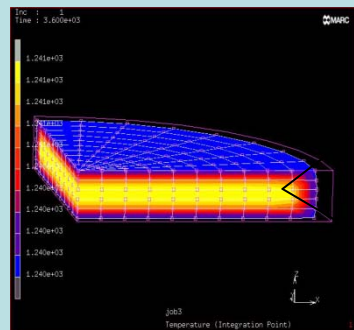
Asahi Glass Co., Ltd.
& University College London
& The University of Tokyo

‘Computer simulation’ ouvre un nouveau monde!

Macro-simulation

Nano-simulation

Micro-simulation



AGC



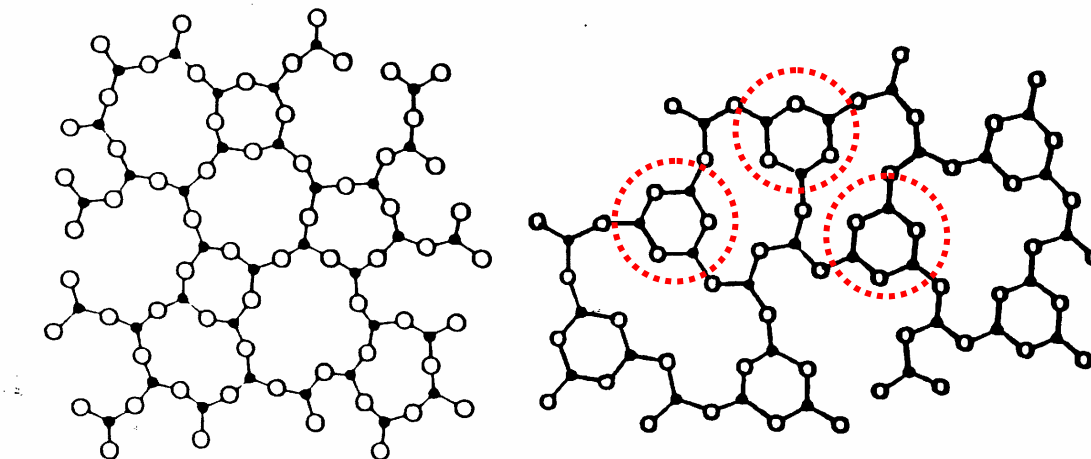
Contenu

“Mystère en Structure de Verre”

- 1. Mystère en Verre de B_2O_3**
- 2. Mystère en Verre de SiO_2**
- 3. Direction future**

1. Mystère de Verre de B_2O_3

Il y a encore beaucoup de discussions...
Laquelle est la unite dominante en structure,
unite de BO_3 independent ou boroxol rings (B_3O_6) ?



Une majorite des experimentations soutiens que
une fraction de B atomes present
en boroxol rings est environ **75%**.

Pionniers de recherche sur ‘boroxol-ring’

F valeur = fraction de
B atomes en boroxol rings

Pionnier

méthode

f valeur

Experimentation

Mozzi & Warren (1970) Xray diffraction

Jellison et al (1977) NMR

~82%

Bril & Konijnedijk (1975) Raman scattering

Johnson et al (1982) Neutron scattering

~60%

Hannon et al (1994) Inelastic neutron scattering

~80%

Simulation

Takada et al (1994) 3-body + bond-order pot.

27% (const V)

40-53% (const P)

Maranas (2000) polalizable model

33%

Kashchieva(2005) 3-body+4-body

10-33%

Méthodes nouvelles

Difficultés sur modèle structurel de B₂O₃

1) La B-O union est complexe.

Modèle sophistiqué (bond-order type, polarizable model ou ab-initio MD)

2) La dynamique de rétablissement de structure est lente.

Acceleration pour équilibration ou sampling efficiente est nécessaire !

la première méthode pour résolution:

‘bond-order typ’ A.Takada et al, *Phys. Chem. Glasses*, 44, 147(2003)

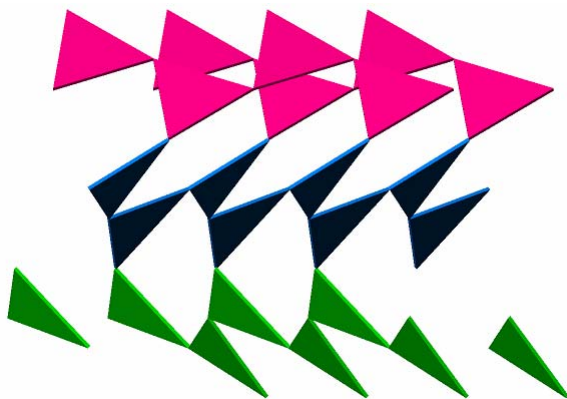
‘ab-initio MD’ G. Ferlat et al, *Phys. Rev. Lett.* 101. 065504 (2008)

la seconde méthode pour résolution:

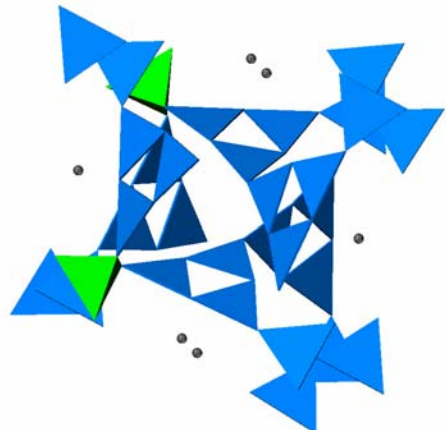
MD/MC couplé A. Takada, *Phys. Euro. J. Glass Sci. Technol. B*, 47, 493 (2006)

Triangle=BO

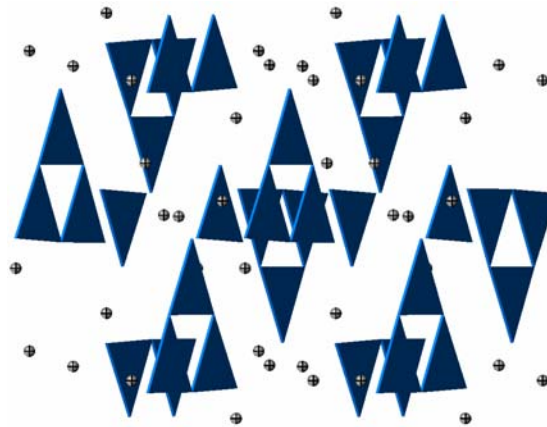
B_2O_3 cristal (exp.)
(1D chaine)



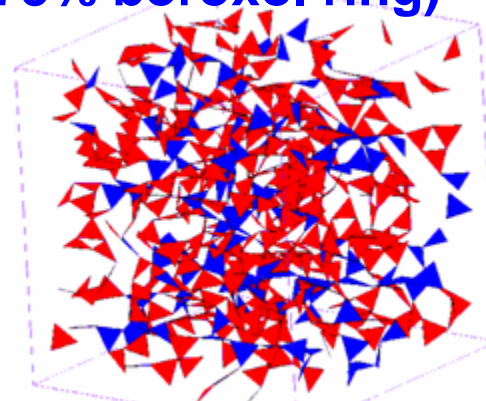
$Cs_2O \cdot 9B_2O_3$ cristal (exp)
(3D interpenetrant)



HBO_2 cristal (exp.)
(2D plan)

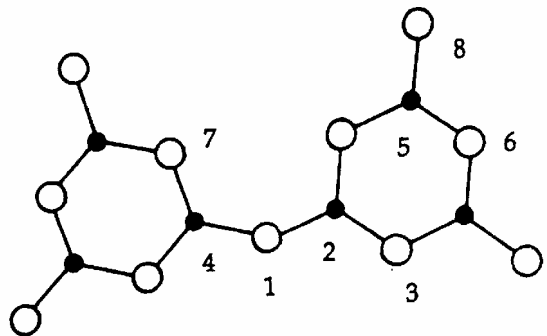
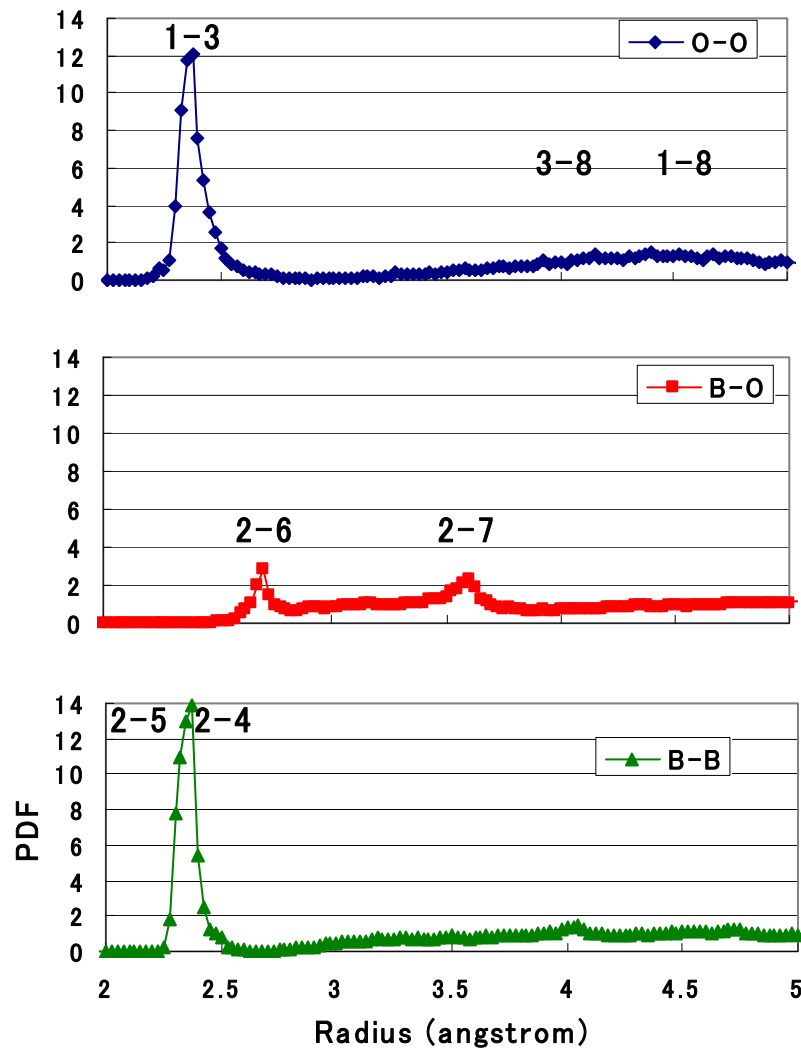


Verre calculé par MD/MC couplé
(75% boroxol ring)



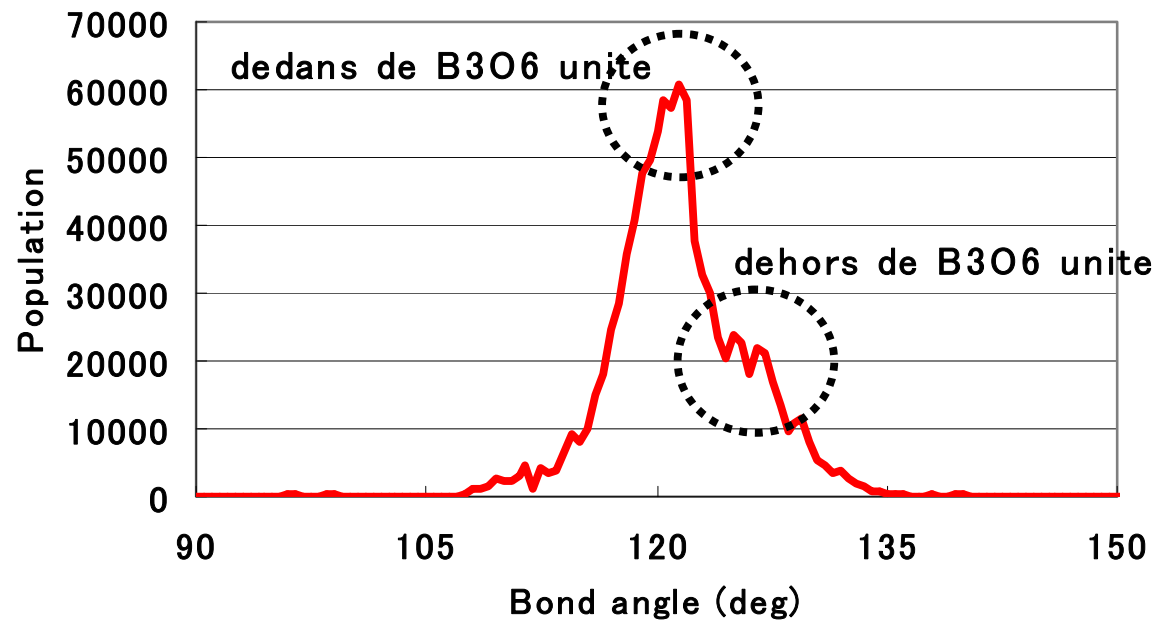
Cette structure ressemble à $Cs_2O \cdot 9B_2O_3$.

Pair Distribution Function de Modèle Structurel



Les pics caractérisés de boroxol ring

Bond Angle Distribution de Modèle Structurel



Comparaison entre B_2O_3 et SiO_2 de ce point de chimie structurelle

température basse

température haute

SiO_2 cristal

Quartz
(6&8-membre ring)

Cristobalite, tridymite
(6-membre)

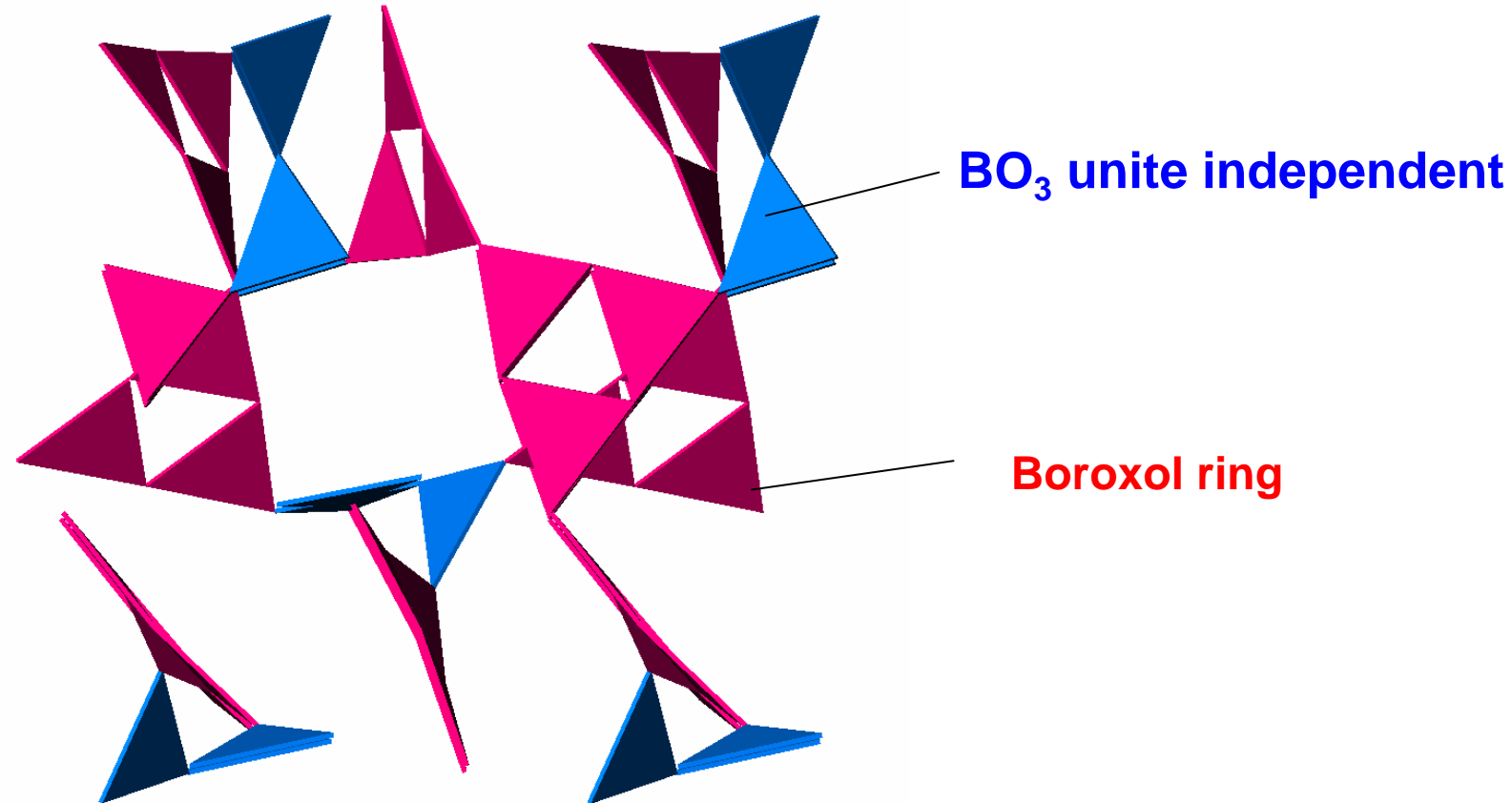
B_2O_3 cristal

B_2O_3 -I
(8&10-membre)

“Boroxolite” hypothétique
(75% B atomes en boroxol rings)
structures semblables:

$Cs_2O \cdot 9B_2O_3$ (75% B)
 B_2S_3 (75% B)

cristal ‘Boroxolite’ hypothétique



La caractère de ‘Boroxolite’: structure interpenetrant (non-plan)

2. Mystère en verre de SiO_2

--- **Mystères sur conduite thermique en verre de SiO_2** ---

- existence de densité maximum à environ 1820K
- augmentation de bulk modulus par monté de température

Qu'est-ce qu'il y a un modèle simple pour expliquer ces mystères?

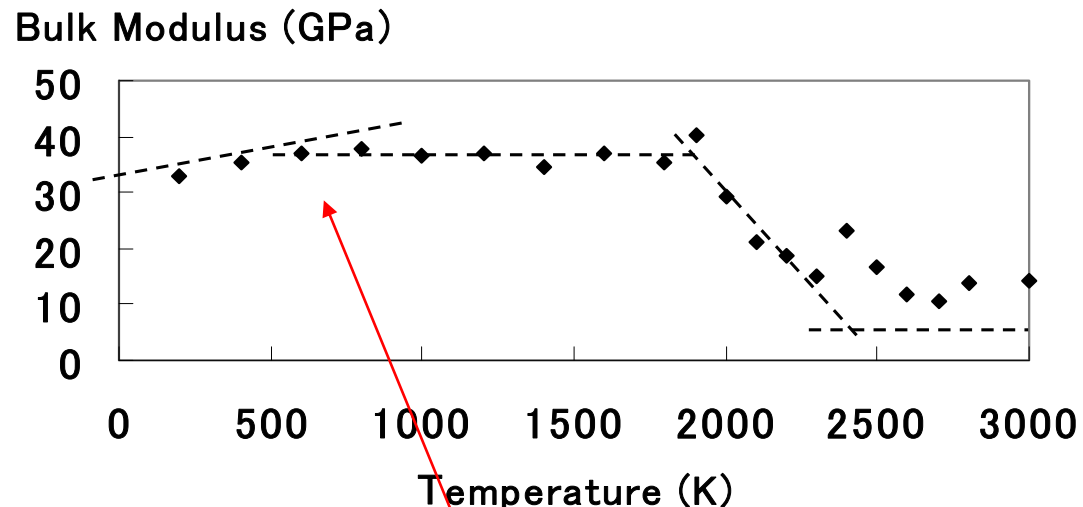
Deux facteurs importants doivent être pris en cosidération:

- | | |
|---|-----------------------------------|
| 1) α-β type de phase transformation | Huang & Kieffer (2004) |
| 2) Coupe et reunion de Si-O unions | Takada et al (2004) |

Le premier exemple de mystère

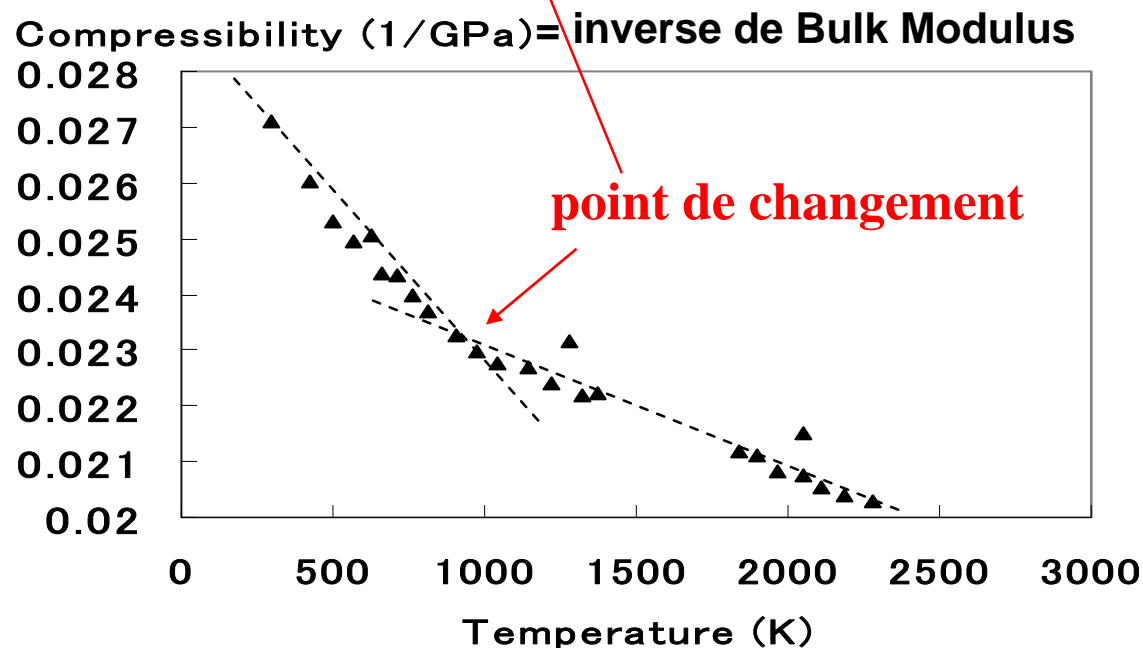
Resultats par simulation

Bulk modulus est dependant de température complexement.



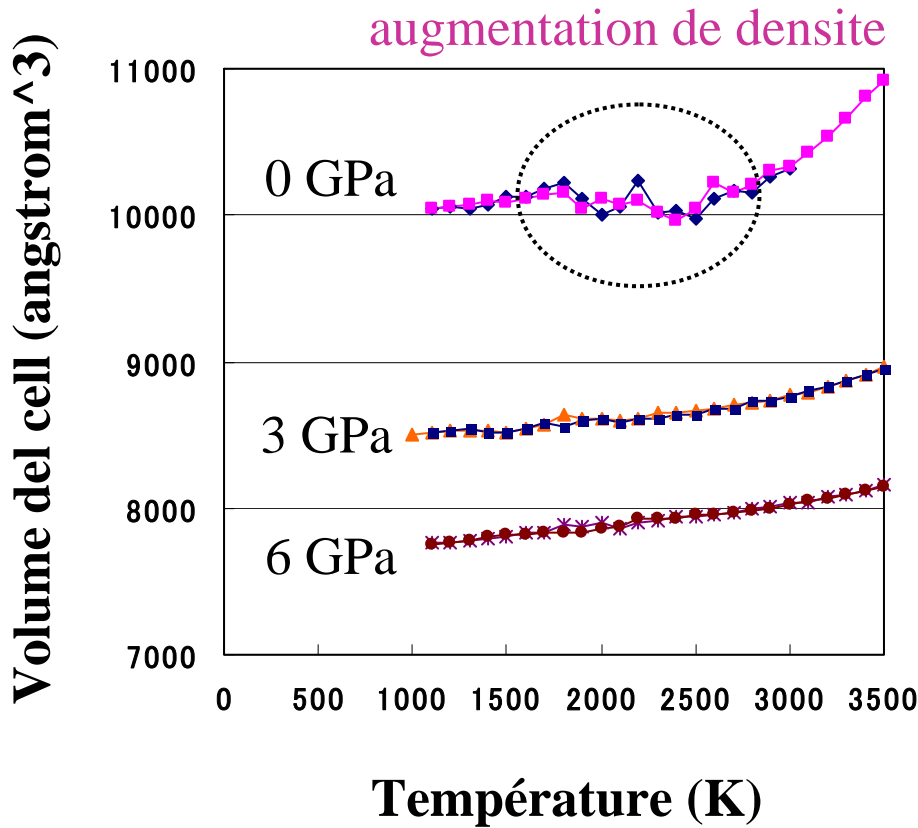
Resultats experimentaux

(Brillouin scattering,
Polian et al.,
Europhys. Lett. 57 ,
(2002)



Le deuxième exemple de mystère

**Changement de densité en verre de SiO₂,
dependant de température et pression**



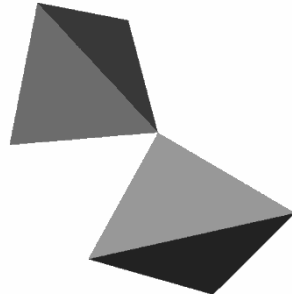
Anormalité en densité:
fort (P:basse)

Faible (P: haute)

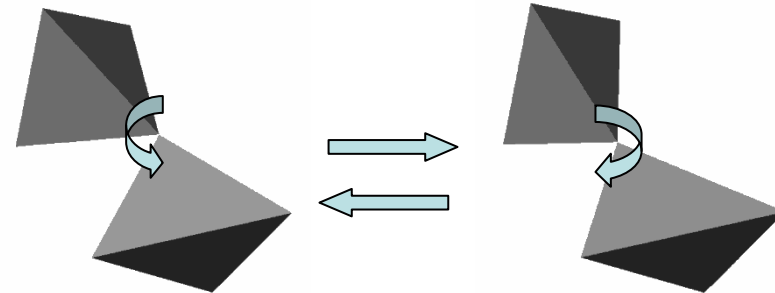
La première méthode originale

Analyse par modèle de ‘Structon’

Structon en solide: displacive
alpha-structon



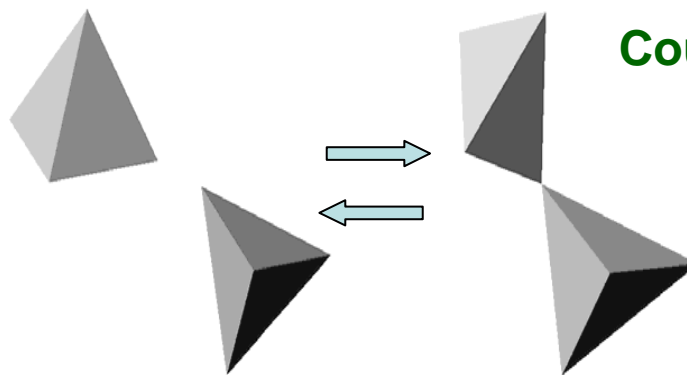
Structures locales sont classifiés
à quatre ‘structons’.
beta-structon



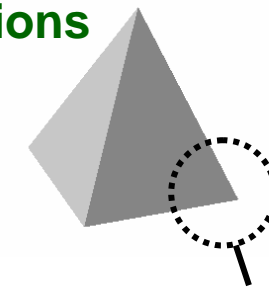
Semblable à $\alpha-\beta$ phase transformation

Structon en liquide: reconstructive
gamma-structon

delta-structon



Coupe et reunion de Si-O unions



Non-bridging

Analyse par ‘Structon’ : A.Takada, P. Richet, C.R.A. Catlow, G.D. Price,
Eur. J. Glass Sci. Technol. B, 48 (2007) 182.

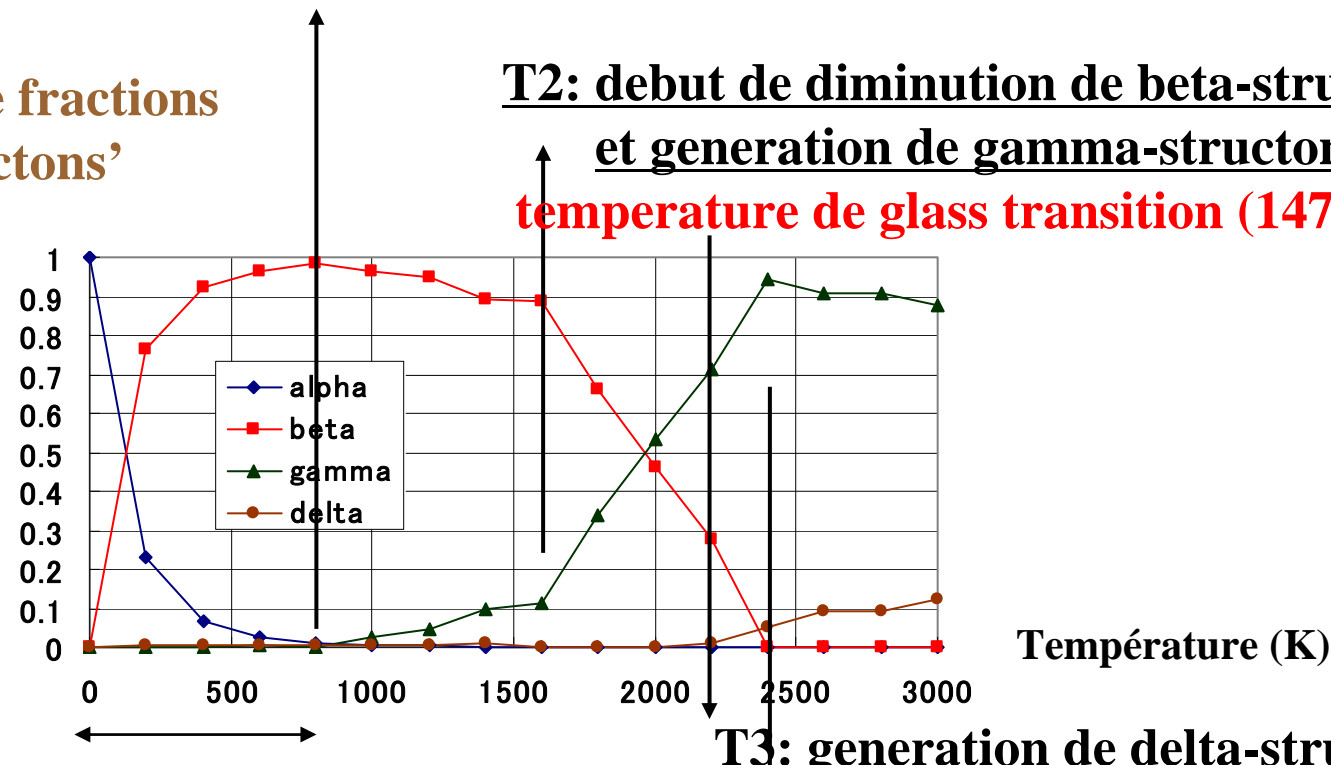
Verre de SiO₂

T1: saturation de beta-structon

point de changement en bulk modulus (900K)

Changement de fractions
de quatre 'structons'

Fraction de
structons



T<T1: d'alpha- a beta-structon
augmentation de bulk modulus

Changement de 'structon'



Changement de propriété

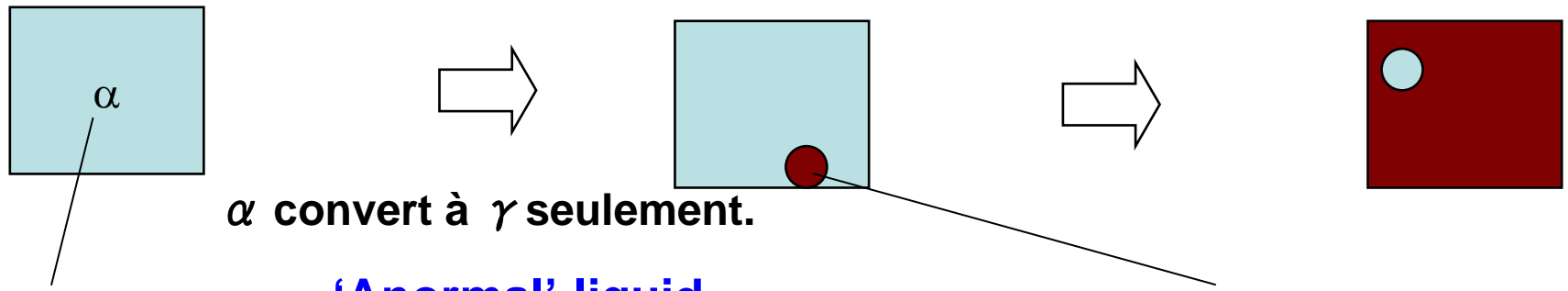
T2: debut de diminution de beta-structon
et generation de gamma-structon
temperature de glass transition (1470K)

Température (K)

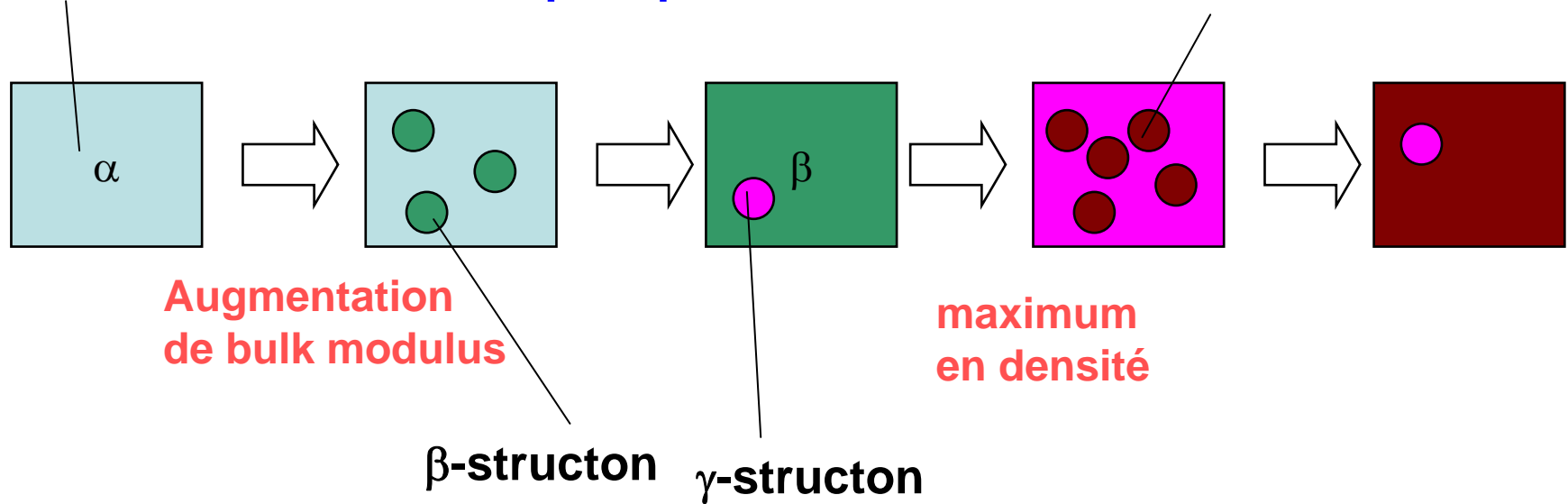
T3: generation de delta-structon
maximum en densité(1820K)

T4: saturation de gamma-structon
changement de Rayleigh scattering
(2000K ~ melting point)

'Normal'-liquid Seulement une parametre d'ordre



'Anormal'-liquid Deux ou plus parametres d'ordre

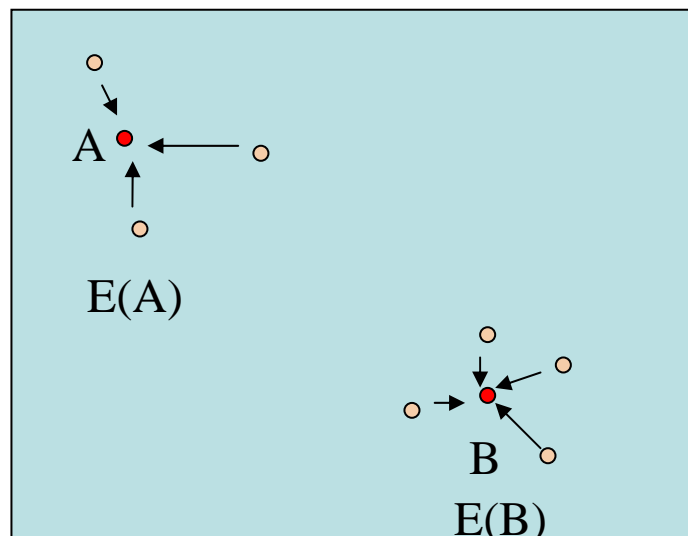


La deuxième méthode originale!!!

Nouvelle méthode en thermodynamique statistique

Stratégie:

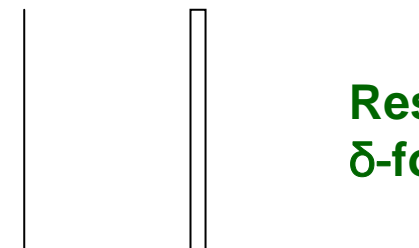
Chaque atome a son interaction-énergie individuelle
qui est dépendante de son environnement.



distribution locale de energie

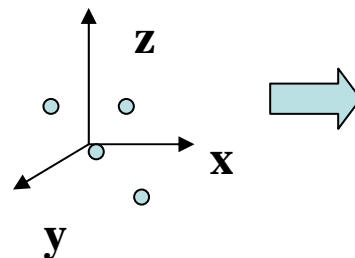
Cristal:

Densité d'états

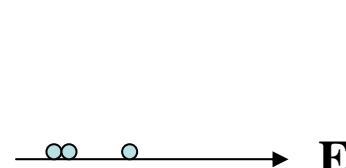


Ressemble à
 δ -fonction

Espace de coordinateur



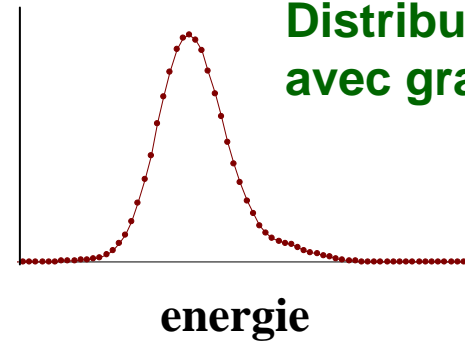
Espace d'Energie



energie

Verre ou liquide:

Densité d'états



Distribution
avec grande largeur

6-dimension (x, y, z, vx, vy, vz)

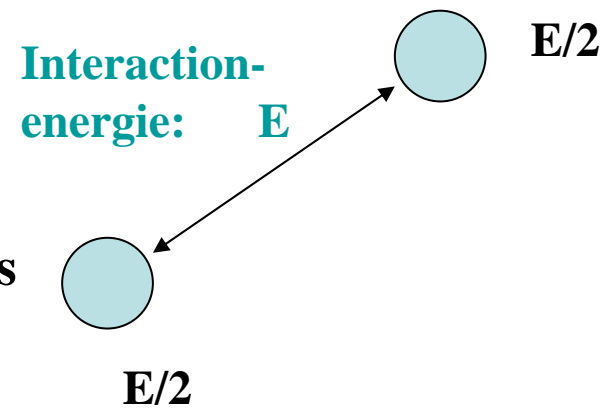
1-dimension (E)

Comment pour exprimer chaque energie locale?

Seulement une approximation:

Tout les interactions (Coulombic & short-range) sont partagées également et ses demies sont distribués à chaque atome.

Les energies sont ajoutés en chaque atome.

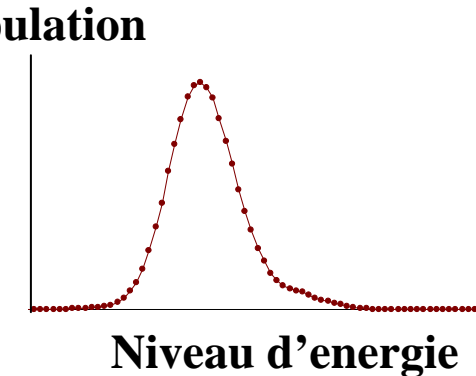


Cet energie ajouté en atome est nommée
'atomistic energy.'



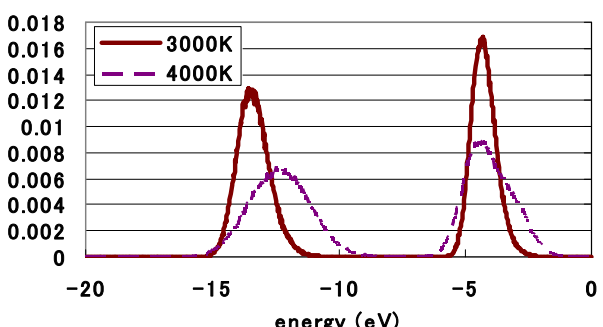
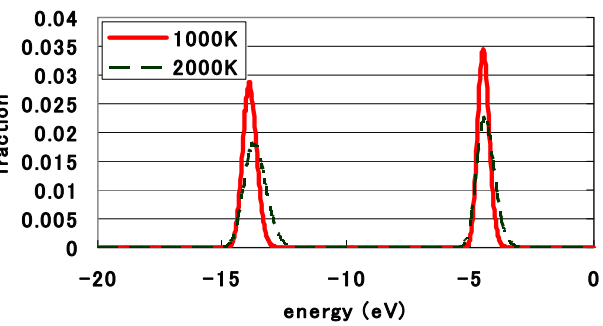
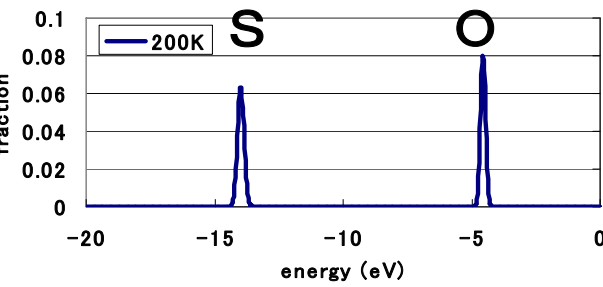
Il y a une correspondance entre
Structure et 'atomistic energy' distribution functions.

atomistic energy distribution functions

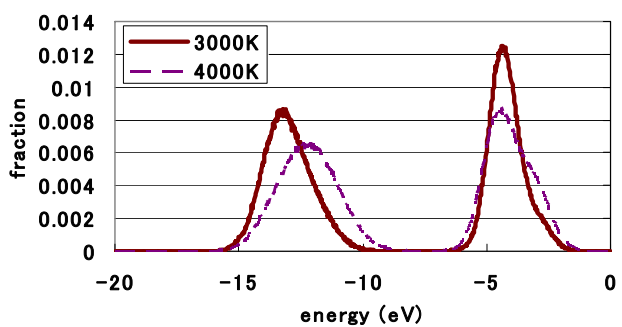
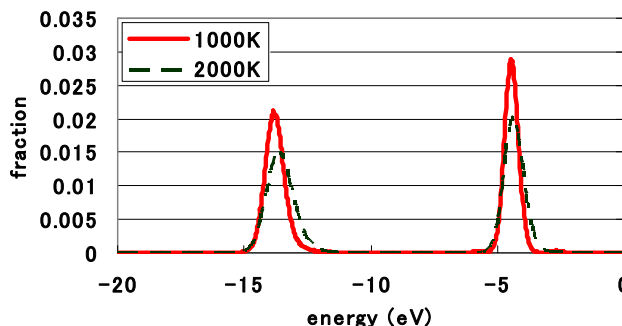
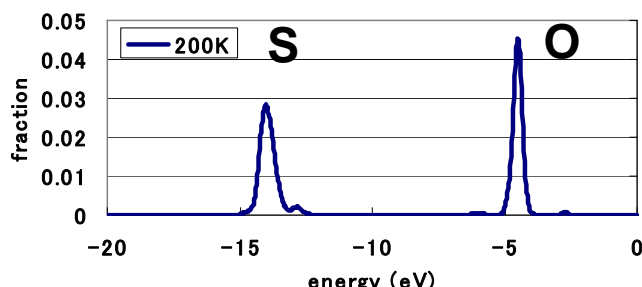


‘atomistic energy distribution functions’

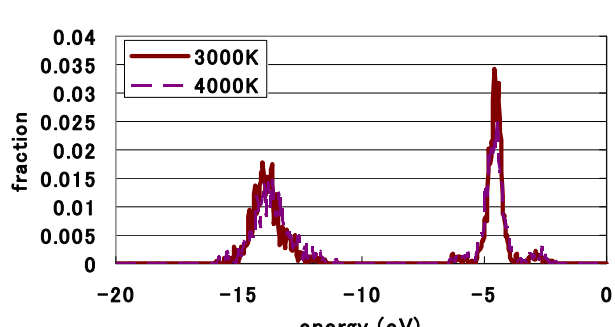
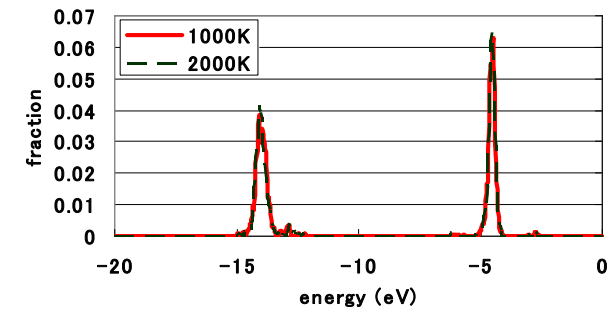
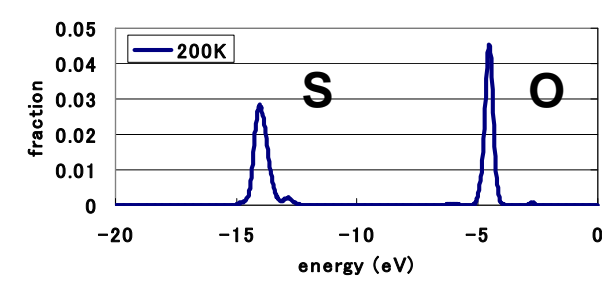
cristobalite



verre rafraîchi lentement



verre caillé instantanément

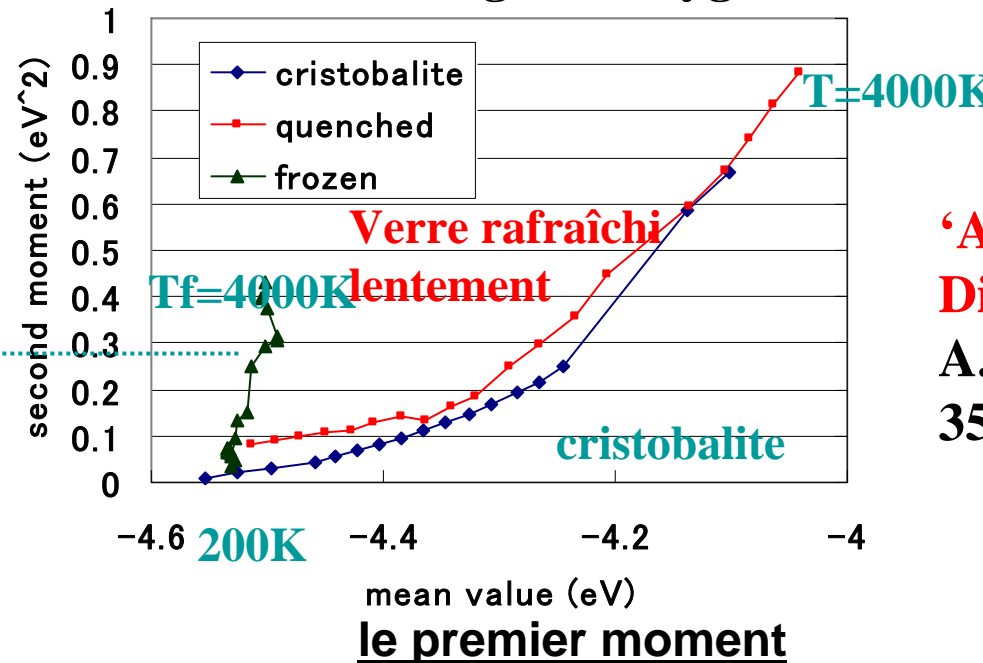


Le premier moment (moyenne) et le second moment (variance) de atomistic energy distribution functions' sont comptés et figurés.

Changement de moments exercé par influence thermique (energie en oxygene)

le second
moment

Verre caillé
instantanément



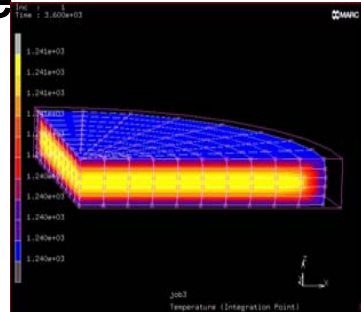
'Atomistic energy
Distribution analysis':
A.Takada et al, JNCS,
355 (2009) 694.

En résumé:

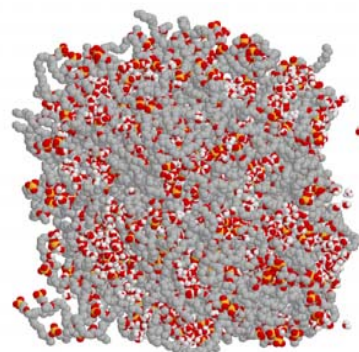
On peut distinguer des verre avec antécédent thermal par cette méthode nouvel.

3. Direction future

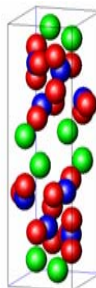
system size



(>mm)



(nm)



(Å)

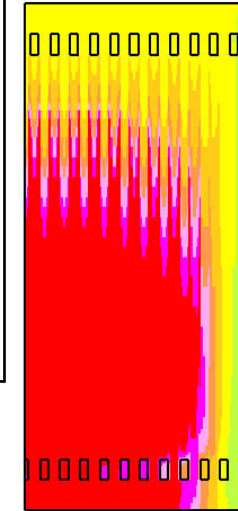
(ps)

time scale

(> ms)

Macro-Scale

visco-elastic phenomena
visco-plastic phenomena
flow, thermal stress, combustion
continuum techniques
device simulation

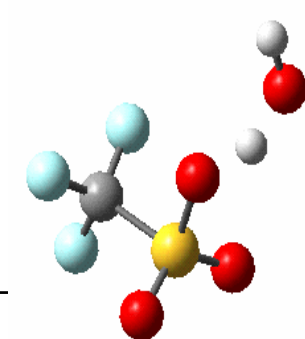


Meso-Scale

crack propagation / branching
non-linear rheology, homogeneity
solid-phase, liquid-phase complex reaction
phase change, proton transfer
DPD, coarse graining, homogenization,
mean field, phase field, RISM, lattice-Boltzmann

Micro-Scale

electronic structure \leftrightarrow atomic
structure (intermediate-order),
Optical & electronic properties, Reactivity
MO,DFT,MD,MC



Remerciements pour les chefs qui partagent les cuisines

University College London

Prof. C.R.A. Catlow

Prof. G.D. Price

Prof. P.F. McMillan

IPGP-Paris

Prof. P. Richet

IMPMC-Paris

Dr. G. Ferlat

Tokyo Institute of Tech.

Prof. T. Atake